

# ТЕРМОЭДС ДОДЕКАБОРИДОВ $\text{RB}_{12}$ ( $\text{R} = \text{Ho}, \text{Er}, \text{Tm}, \text{Lu}$ )

*M. И. Игнатов<sup>a\*</sup>, В. В. Глушков<sup>a</sup>, С. В. Демишиев<sup>a</sup>, Н. Ю. Шицевалова<sup>b</sup>,  
А. В. Левченко<sup>b</sup>, Е. И. Хайруллин<sup>a</sup>, Н. Е. Случанко<sup>a</sup>*

*<sup>a</sup> Институт общей физики им. А. М. Прохорова Российской академии наук  
119991, Москва, Россия*

*<sup>b</sup> Институт проблем материаловедения Национальной академии наук Украины  
03680, Киев, Украина*

Впервые выполнены детальные исследования коэффициента термоэдс  $S(T)$  додекаборидов  $\text{RB}_{12}$  ( $\text{R} = \text{Ho}, \text{Er}, \text{Tm}, \text{Lu}$ ) в широком диапазоне температур 2–300 К в парамагнитной (диамагнитной для  $\text{LuB}_{12}$ ) и антиферромагнитной фазах. Показано, что в области промежуточных температур  $T \approx 10$ –300 К коэффициент термоэдс определяется эффектами взаимодействия с фононными модами, связанными с колебаниями атомов редкоземельных металлов в каркасной структуре из атомных кластеров  $\text{B}_{12}$ . На основе сравнительного анализа параметров, определяющих термоэдс фононного увлечения, и результатов гальванических измерений представлены аргументы, свидетельствующие о заметном влиянии спиновых флуктуаций на поведение транспортных характеристик в этих соединениях с сильными электронными корреляциями.

PACS: 72.15.Jf, 75.50.Ee

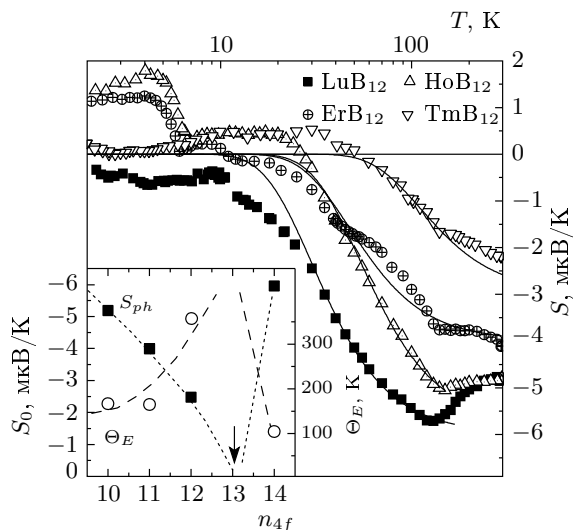
Среди боридов редкоземельных и переходных металлов особый интерес исследователей привлекают соединения на основе каркасных структурных единиц — нанокластеров  $\text{B}_{12}$ . Простая ГЦК-структура указанного класса веществ позволяет рассматривать эти соединения в качестве удобных модельных объектов для изучения природы магнитных взаимодействий и особенностей формирования основного состояния в кристаллических системах с нанокластерами и локализованными магнитными моментами [1–7]. В частности, косвенное обменное РКИ-взаимодействие магнитных моментов  $4f$ -оболочки в додекаборидах металлического типа ( $\text{TbB}_{12}$ ,  $\text{DyB}_{12}$ ,  $\text{HoB}_{12}$ ,  $\text{ErB}_{12}$ ,  $\text{TmB}_{12}$ ) приводит к антиферромагнитному упорядочению при температурах Нееля, равных соответственно  $T_N = 22.05$ , 16.5, 7.5, 6.7 и 3.28 К [1–4]. В свою очередь диамагнитный додекаборид лютения  $\text{LuB}_{12}$  с полностью заполненной  $4f$ -оболочкой обнаруживает переход в сверхпроводящее состояние при  $T_c = 0.4$  К [5, 6]. Однако анализ особенностей формирования основного состояния в ряду  $\text{RB}_{12}$  существенно осложняется необходимостью корректного учета корреляци-

онных эффектов в зоне проводимости, которая сформирована, в основном,  $5d$ -состояниями редкоземельных ионов, гибридизованными с  $2p$ -орбиталами бора [1, 2].

В такой ситуации важная информация может быть получена при исследовании поведения коэффициента термоэдс  $S(T)$ , поскольку указанный транспортный параметр наиболее заметно модифицируется в условиях сильных квазичастичных взаимодействий [8]. Вместе с тем особенности синтеза монокристаллических образцов тугоплавких соединений  $\text{RB}_{12}$  ( $T_m \geq 2300$  К) [1], а также высокие значения проводимости, затрудняющие выполнение прецизионных измерений коэффициента термоэдс в этих соединениях, определили отсутствие подобных исследований термоэлектрических свойств додекаборидов редкоземельных металлов.

В работе впервые выполнено исследование коэффициента термоэдс  $S(T)$  додекаборидов  $\text{RB}_{12}$  ( $\text{R} = \text{Ho}, \text{Er}, \text{Tm}, \text{Lu}$ ) в широком диапазоне температур 2–300 К в парамагнитной (диамагнитной для  $\text{LuB}_{12}$ ) и антиферромагнитной фазах. Для прецизионных измерений коэффициента термоэдс использовалась четырехконтактная схема с пошаговым изменением температурного градиента на образце [9]. Для дости-

\*E-mail: ignatov@lt.gpi.ru



**Рис. 1.** Температурные зависимости коэффициента термоэдс додекаборидов RB<sub>12</sub> (R = Ho, Er, Tm, Lu). Сплошные линии — результаты аппроксимации экспериментальных данных с использованием модели Эйнштейна (2). На вставке: зависимости амплитуды термоэдс фононного увлечения и характерной частоты эйнштейновской моды (см. текст) от числа электронов n<sub>4f</sub> на 4f-оболочке редкоземельного элемента. Стрелкой указано значение параметра n<sub>4f</sub> для додекаборида иттербия

жения высокой точности измерения коэффициента термоэдс (до 50 нВ/К) использовались нановольтметры Keithley модели 2182. Необходимая стабилизация температуры (от  $\sim 0.01$  К при  $T < 30$  К до  $\sim 0.1$  К при  $T = 300$  К) достигалась при помощи оригинального температурного контроллера на цифровых сигнальных процессорах.

Температурные зависимости  $S(T)$  магнитных и немагнитных соединений RB<sub>12</sub> (R = Ho, Er, Tm, Lu) демонстрируют, в целом, сходное поведение, характеризующееся значительным уменьшением абсолютной величины коэффициента термоэдс при понижении температуры в диапазоне 40–300 К (рис. 1). Следует отметить, что аналогичное поведение коэффициента термоэдс ранее наблюдалось при исследовании термоэлектрических свойств додекаборида циркония ZrB<sub>12</sub>. В частности, в работе [10] было показано, что в области температур  $T > 20$  К термоэдс ZrB<sub>12</sub> определяется эффектами увлечения зонных электронов фононными модами, связанными с колебаниями атомов циркония в каркасной структуре из атомных кластеров бора.

В такой ситуации естественно сделать предположение о доминирующем характере взаимодействия носителей заряда с оптическими эйнштейновскими модами, возникающими при колебаниях тяжелого атома редкоземельного металла [11]. При этом для количественного анализа температурной зависимости термоэдс додекаборидов RB<sub>12</sub> в области промежуточных температур можно использовать выражение для термоэдс фононного увлечения  $S_{ph}$  [8, 12]:

$$S_{ph} = \frac{C(T)}{n(T)e} \left( \frac{\tau_{e-ph}^{-1}}{\tau_{e-ph}^{-1} + \tau_{ph}^{-1}} \right), \quad (1)$$

где  $\tau_{e-ph}$  — время релаксации носителей заряда, определяемое электрон-фононным взаимодействием, а  $\tau_{ph}$  — время релаксации фононной подсистемы,  $n(T)$  — концентрация носителей заряда,  $C(T)$  — удельная теплоемкость. С учетом того, что по результатам холловских измерений [13] концентрация электронов проводимости в ряду RB<sub>12</sub> слабо зависит от температуры, а также при использовании явного выражения для теплоемкости в модели Эйнштейна [11], выражение (1) преобразуется к виду

$$S_{ph}(T) = S_0 \left( \frac{\Theta_E}{T} \right)^2 \frac{\exp(\Theta_E/T)}{(\exp(\Theta_E/T) - 1)^2}, \quad (2)$$

где  $\Theta_E = \hbar\omega_E/k_B$ ,  $\omega_E$  — частота эйнштейновской моды.

Аппроксимация представленных данных выражением (2) приводит к хорошему согласию с экспериментом (сплошные линии на рис. 1), подтверждая сделанное предположение. При этом характерная частота эйнштейновской моды  $\Theta_E \approx 165$ –360 К в додекаборидах редких земель с незаполненной 4f-оболочкой RB<sub>12</sub> (R = Ho, Er, Tm) оказывается заметно больше величины  $\Theta_E \approx 105$  К для LuB<sub>12</sub> (вставка на рис. 1). Следует особо отметить, что рост параметра  $\Theta_E$ , наблюдаемый в магнитных додекаборидах RB<sub>12</sub> (R = Ho, Er, Tm) по мере заполнения 4f-оболочки редкоземельного иона, сопровождается уменьшением абсолютной величины термоэдс фононного увлечения и связанного с ней параметра  $S_0$  (вставка на рис. 1). С учетом результатов исследования холловской подвижности в додекаборидах RB<sub>12</sub> (R = Ho, Er, Tm, Lu) [13] наблюдаемое изменение параметров термоэдс фононного увлечения (вставка на рис. 1) подтверждает вывод о заметном влиянии спиновых флюктуаций, усиливающихся по мере приближения в ряду RB<sub>12</sub> (R = Ho, Er, Tm) к состоянию с промежуточной валентностью (YbB<sub>12</sub>:  $v \approx 2.9$ ,  $n_{4f} \approx 13.1$ ), на транспортные характеристики этих соединений с атомными кластерами бора [13].

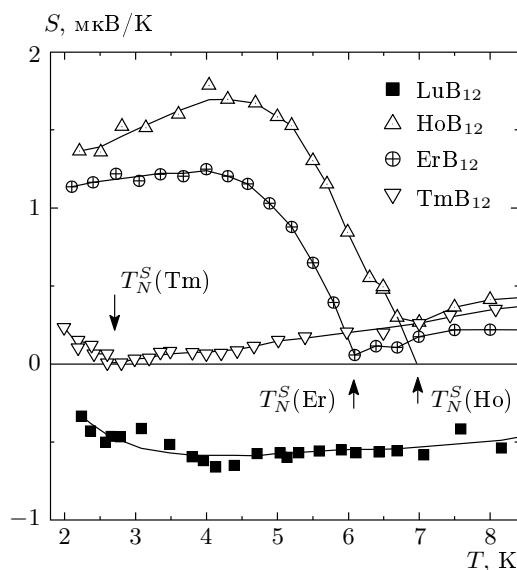


Рис. 2. Низкотемпературное поведение коэффициента термоэдс магнитных додекаборидов  $\text{RB}_{12}$  ( $\text{R} = \text{Ho}, \text{Er}, \text{Tm}$ ) и диамагнитного  $\text{LuB}_{12}$

С понижением температуры коэффициент термоэдс магнитных додекаборидов меняет знак и для соединений  $\text{HoB}_{12}$  и  $\text{TmB}_{12}$  на кривых  $S(T)$  в интервале 10–20 К регистрируется широкий положительный максимум сравнительно малой амплитуды  $S \leq 0.5 \text{ мкВ/К}$  (рис. 1). Для  $\text{ErB}_{12}$  смена знака и максимум  $S(T)$  наблюдаются при температурах соответственно 10.5 и 8 К (рис. 1). Переход в антиферромагнитное состояние в  $\text{RB}_{12}$  сопровождается появлением дополнительного положительного вклада в  $S(T)$  (рис. 2). Аппроксимация кривой  $S(T)$  в антиферромагнитной фазе до пересечения с осью температур позволяет оценить значения температуры Нееля для  $\text{HoB}_{12}$ ,  $\text{ErB}_{12}$  и  $\text{TmB}_{12}$  ( $T_N^S(\text{HoB}_{12}) \approx 7.1 \text{ К}$ ,  $T_N^S(\text{ErB}_{12}) \approx 6.1 \text{ К}$  и  $T_N^S(\text{TmB}_{12}) \approx 2.6 \text{ К}$ ). Отметим, что значения  $T_N^S$ , определенные указанным образом (рис. 2), оказываются заметно ниже температур Нееля  $T_N(\text{HoB}_{12}) \approx 7.4 \text{ К}$ ,  $T_N(\text{ErB}_{12}) \approx 6.7 \text{ К}$  и  $T_N(\text{TmB}_{12}) \approx 3.3 \text{ К}$ , найденных из холловских измерений [13]. При этом выяснение природы магнитных аномалий коэффициента термоэдс додекаборидов  $\text{RB}_{12}$  требует проведения дополнительных исследований термоэлектрических характеристик в магнитном поле в этих соединениях с сильными электронными корреляциями.

Работа выполнена при финансовой поддержке РФФИ (грант № 04-02-16721) и INTAS (№ 03-51-3036), а также программы ОФН РАН «Сильнокоррелированные электроны в полупроводниках, металлах, сверхпроводниках и магнитных материалах» и Российского Фонда содействия отечественной науке.

## ЛИТЕРАТУРА

1. Н. Ю. Шицевалова, Дисс. ... канд. физ.-мат. наук, Вроцлав (2001).
2. S. Gabani, I. Bat'ko, K. Flachbart et al., J. Magn. Magn. Mat. **207**, 131 (1999).
3. P. Priputen, K. Flachbart, S. Gabani et al., Acta Physica Slovaca **56**, 157 (2006).
4. A. Czopnik, N. Shitsevalova et al., J. Sol. St. Chem. **177**, 507 (2004).
5. B. Jäger, S. Paluch, O. J. Žogalet al., J. Phys.: Condens. Matter **18**, 2525 (2006).
6. K. Flachbart, S. Gabani, K. Gloos et al., J. Low Temp. Phys. **140**, 339 (2005).
7. N. Okuda, T. Suzuki, I. Ishii et al., Physica B **281–282**, 756 (2000).
8. P. M. Chaikin, in *Organic Superconductivity*, Plenum Press, New York (1991), p. 101.
9. Н. Е. Случанко, В. В. Глушков, С. В. Демишин и др., ЖЭТФ **113**, 339 (1998).
10. V. Glushkov, M. Ignatov, S. Demishev et al., Phys. Stat. Sol. (b) **243**, R72 (2006).
11. R. Lortz, Y. Wang, S. Abe et al., Phys. Rev. B **72**, 024547 (2005).
12. Ф. Блатт, П. Шредер, К. Фойлз, Д. Грэйг, *Термоэлектродвигущая сила металлов*, Металлургия, Москва (1980), с. 82.
13. N. Sluchanko, L. Bogomolov, V. Glushkov et al., Phys. Stat. Sol. (b) **243**, R63 (2006).